

Московский государственный университет
им. М. В. Ломоносова
Механико-математический факультет
Кафедра газовой и волновой динамики

Ракитин Виталий Павлович.

Конечно-разностные методы решения уравнений с частными
производными

Преподаватель: Самохин Александр Сергеевич.

Москва, 2016 год.

Содержание

1	Аннотация	2
2	Расчёт линейной задачи	3
2.1	Постановка задачи	3
2.1.1	Граничные условия	3
2.2	Преобразование схем	3
3	Расчёт нелинейной задачи	5
3.1	Постановка задачи	5
3.1.1	Граничные условия	5
3.2	Преобразование схем	5
4	Устойчивость нелинейной неявной схемы	6
5	Аппроксимация	7
6	Дифференциальное приближение	7
7	Устойчивость	8
8	Аналитическое решение	10
8.1	Линейный случай	10
8.2	Нелинейный случай	10
9	Расчёт линейной задачи	11
10	Расчёт нелинейной задачи	12
11	Приложения	16
11.1	Метод Ньютона	16
11.2	Характеристики	17
11.2.1	Линейный случай	17
11.2.2	Нелинейный случай	17

1 Аннотация

Решается задача из сборника А.В.Попова под номером 10.

Суть задачи заключается в решении уравнения

$$\frac{\partial u}{\partial t} + \frac{\partial F(u)}{\partial x} = 0$$

методом аппроксимации конечно-разностными схемами. Рассматриваются две схемы (явная и не явная), а также две различные функции

$$F(u) = -\frac{1}{2}u \quad \text{и} \quad F(u) = -\frac{1}{2}u^2$$

и найдём решение в полосе Q_t (см. [3](#)).

2 Расчёт линейной задачи

2.1 Постановка задачи

$$F(u) = -\frac{1}{2}u$$

Рассматриваются явная и неявная схемы

$$v_t + (F(v))_x^\circ = \frac{h^2}{2\tau} v_{x\bar{x}} \quad (1)$$

$$v_t + (F(\hat{v}))_x^\circ = \omega\tau \left((F'_v(v))^2 \hat{v}_x \right)_{\bar{x}} \quad (2)$$

для численного решения уравнения переноса

$$\frac{\partial u}{\partial t} - \frac{1}{2} \frac{\partial u}{\partial x} = 0$$

в области

$$Q_t = \{(t, x) : 0 < t \leq 1, \quad -1 \leq x \leq 1\}. \quad (3)$$

2.1.1 Граничные условия

1. на прямой $t = 0$ (при $-1 \leq x \leq 1$) определена функция

$$u_0(x) = \begin{cases} 0, & \text{если } x \leq 0, \\ 4x, & \text{если } 0 < x \leq 0.25, \\ 1, & \text{если } x > 0.25; \end{cases} \quad (4)$$

2. на прямой $x = -1$ ввиду постоянства решения на характеристиках — прямых вида $t = -2x + C$ (см.6), на множестве $t \in (0, 1)$:

$$u(t, -1) = u_0(x \leq 0) = 0;$$

3. на прямой $x = 1$, аналогично п.2:

$$u(t, 1) = u_0(x > 0.25) = 1.$$

В условиях задачи использованы следующие обозначения

$$g_x = \frac{g_{m+1}^n - g_m^n}{h} \quad g_x^\circ = \frac{g_{m+1}^n - g_{m-1}^n}{2h} \quad g_{\bar{x}} = \frac{g_m^n - g_{m-1}^n}{h} \quad (\hat{v})_m^n = v_m^{n+1}$$

2.2 Преобразование схем

Преобразуем уравнение (1) к более удобному виду

$$((v_x)_{\bar{x}})_m^n = \frac{(v_x)_m^n - (v_x)_{m-1}^n}{h} = \frac{\frac{v_{m+1}^n - v_m^n}{h} - \frac{v_m^n - v_{m-1}^n}{h}}{h} = \frac{v_{m+1}^n - 2v_m^n + v_{m-1}^n}{h^2}$$

$$(F(v))_x^\circ = -\frac{1}{2}v_x^\circ = -\frac{v_{m+1}^n - v_{m-1}^n}{4h}$$

Значит

$$\frac{v_m^{n+1} - v_m^n}{\tau} - \frac{v_{m+1}^n - \frac{1}{2}v_{m-1}^n}{4h} = \frac{h^2}{2\tau} \frac{v_{m+1}^n - 2v_m^n + v_{m-1}^n}{h^2}$$

$$2(v_m^{n+1} - v_m^n) - \frac{\tau}{2h}(v_{m+1}^n - v_{m-1}^n) = v_{m+1}^n - 2v_m^n + v_{m-1}^n$$

$$v_m^{n+1} = \frac{\tau}{2h}(v_{m+1}^n - v_{m-1}^n) + \frac{1}{2}v_{m+1}^n + \frac{1}{2}v_{m-1}^n$$

$$\boxed{v_m^{n+1} = \frac{1}{2} \left(\left(1 + \frac{\tau}{h}\right) v_{m+1}^n + \left(1 - \frac{\tau}{h}\right) v_{m-1}^n \right)} \quad (1^*)$$

Преобразуем уравнение (2) к более удобному виду

$$(F'_v(v))^2 = \left(\left(-\frac{1}{2}v \right)'_v \right)^2 = \left(-\frac{1}{2} \right)^2 = \frac{1}{4}$$

$$(\hat{v}_x)_{\bar{x}} = ((v_m^{n+1})_x)_{\bar{x}} = \frac{(v_x)_m^{n+1} - (v_x)_{m-1}^{n+1}}{h} = \frac{\frac{v_{m+1}^{n+1} - v_m^{n+1}}{h} - \frac{v_m^{n+1} - v_{m-1}^{n+1}}{h}}{h} = \frac{v_{m+1}^{n+1} - 2v_m^{n+1} + v_{m-1}^{n+1}}{h^2}$$

$$(F(\hat{v}))_{\hat{x}} = -\frac{v_{m+1}^{n+1} - v_{m-1}^{n+1}}{4h}$$

Соответственно,

$$\frac{v_m^{n+1} - v_m^n}{\tau} - \frac{v_{m+1}^{n+1} - v_{m-1}^{n+1}}{4h} = \omega\tau \left(\frac{1}{4} \frac{v_{m+1}^{n+1} - 2v_m^{n+1} + v_{m-1}^{n+1}}{h^2} \right)$$

$$4h^2 (v_m^{n+1} - v_m^n) - \tau h (v_{m+1}^{n+1} - v_{m-1}^{n+1}) = \omega\tau^2 (v_{m+1}^{n+1} - 2v_m^{n+1} + v_{m-1}^{n+1})$$

$$\boxed{4h^2 v_m^n + \tau (\omega\tau - h) v_{m-1}^{n+1} - 2(2h^2 + \omega\tau^2) v_m^{n+1} + \tau (\omega\tau + h) v_{m+1}^{n+1} = 0} \quad (2^*)$$

Нормируем схему для использования метода прогонки

$$\boxed{\frac{2h^2}{(2h^2 + \omega\tau^2)} v_m^n - \frac{\tau (\omega\tau - h)}{2(2h^2 + \omega\tau^2)} v_{m-1}^{n+1} + v_m^{n+1} - \frac{\tau (\omega\tau + h)}{2(2h^2 + \omega\tau^2)} v_{m+1}^{n+1} = 0} \quad (5)$$

Тогда получим систему вида $G_i = G_i(\hat{v})$:

$$\begin{cases} G_0 = -\frac{2h^2}{(2h^2 + \omega\tau^2)} v_0 + \hat{v}_0 - \frac{\tau(\omega\tau + h)}{2(2h^2 + \omega\tau^2)} \hat{v}_1, & m = 0; \\ G_m = -\frac{2h^2}{(2h^2 + \omega\tau^2)} v_m - \frac{\tau(\omega\tau - h)}{2(2h^2 + \omega\tau^2)} \hat{v}_{m-1} + \hat{v}_m - \frac{\tau(\omega\tau + h)}{2(2h^2 + \omega\tau^2)} \hat{v}_{m+1}, & m = 1, \dots, M-1; \\ G_M = -\frac{2h^2}{(2h^2 + \omega\tau^2)} v_{M-1} - \frac{\tau(\omega\tau - h)}{2(2h^2 + \omega\tau^2)} \hat{v}_{M-1} + \hat{v}_M, & m = M. \end{cases}$$

$$\begin{cases} G_0 = Av_0 + \hat{v}_0 + C\hat{v}_1, & m = 0; \\ G_m = Av_m + B\hat{v}_{m-1} + \hat{v}_m + C\hat{v}_{m+1}, & m = 1, \dots, M-1; \\ G_M = Av_{M-1} + B\hat{v}_{M-1} + \hat{v}_M, & m = M. \end{cases}$$

$$A = -\frac{2h^2}{(2h^2 + \omega\tau^2)}, \quad B = -\frac{\tau (\omega\tau - h)}{2(2h^2 + \omega\tau^2)}, \quad C = -\frac{\tau (\omega\tau + h)}{2(2h^2 + \omega\tau^2)}$$

Найдём матрицу Якоби

$$J = \begin{pmatrix} 1 & C & 0 & \dots & 0 & 0 \\ B & 1 & C & 0 & \dots & 0 \\ 0 & B & 1 & C & \dots & 0 \\ \vdots & & \ddots & \ddots & \ddots & \vdots \\ 0 & \dots & 0 & B & 1 & C \\ 0 & 0 & \dots & 0 & B & 1 \end{pmatrix}$$

3 Расчёт нелинейной задачи

3.1 Постановка задачи

$$F(u) = -\frac{1}{2}u^2$$

Аналогично линейному случаю рассматриваются явная и неявная схемы (1) и (2) для численного решения уравнения

$$\frac{\partial u}{\partial t} - \frac{1}{2} \frac{\partial u^2}{\partial x} = 0$$

в области (3).

3.1.1 Граничные условия

1. на прямой $t = 0$ (при $-1 \leq x \leq 1$) определена функция (4);
2. на прямой $x = -1$, ввиду постоянства решения на характеристиках (см. 7) — прямых вида

$$x = -\varphi(\xi)t + \xi; \quad \varphi(\xi) = \begin{cases} 0, & \text{если } \xi \leq 0, \\ 4\xi, & \text{если } 0 < \xi \leq 0.25, \\ 1, & \text{если } \xi > 0.25. \end{cases}$$

Значит,

$$u(t, -1) = 0;$$

3. на прямой $x = 1$, аналогично

$$u(t, 1) = 1.$$

3.2 Преобразование схем

Преобразуем уравнение (1) к более удобному виду

$$\frac{v_m^{n+1} - v_m^n}{\tau} - \frac{(v^2)_{m+1}^n - (v^2)_{m-1}^n}{4h} = \frac{h^2}{2\tau} \frac{v_{m+1}^n - 2v_m^n + v_{m-1}^n}{h^2}$$

$$\boxed{v_m^{n+1} = \frac{\tau}{2h} \left((v^2)_{m+1}^n - (v^2)_{m-1}^n \right) + \frac{1}{2}v_{m+1}^n + \frac{1}{2}v_{m-1}^n} \quad (1^{**})$$

Преобразуем уравнение (2) к более удобному виду

$$(F'_v(v))^2 = \left(\left(-\frac{1}{2}v^2 \right)'_v \right)^2 = v^2$$

$$\begin{aligned} (v^2 \hat{v}_x)_{\bar{x}} &= \left((v^2)_m^n (v_m^{n+1})_x \right)_{\bar{x}} = \frac{(v^2)_m^n (v_x)_{m+1}^{n+1} - (v^2)_{m-1}^n (v_x)_{m-1}^{n+1}}{h} = \\ &= \frac{(v^2)_m^n v_{m+1}^{n+1} - \left((v^2)_m^n + (v^2)_{m-1}^n \right) v_m^{n+1} + (v^2)_{m-1}^n v_{m-1}^{n+1}}{h^2} \end{aligned}$$

$$(F(\hat{v}))_{\hat{x}} = -\frac{1}{2} \hat{v}_{\hat{x}}^2 = -\frac{(v^2)_{m+1}^{n+1} - (v^2)_{m-1}^{n+1}}{4h}$$

Соответственно,

$$\frac{v_m^{n+1} - v_m^n}{\tau} - \frac{(v^2)_{m+1}^{n+1} - (v^2)_{m-1}^{n+1}}{4h} = \omega \tau \left(\frac{(v^2)_m^n v_{m+1}^{n+1} - \left((v^2)_m^n + (v^2)_{m-1}^n \right) v_m^{n+1} + (v^2)_{m-1}^n v_{m-1}^{n+1}}{h^2} \right)$$

$$\boxed{4h^2 (v_m^{n+1} - v_m^n) - \tau h \left((v^2)_{m+1}^{n+1} - (v^2)_{m-1}^{n+1} \right) - 4\omega\tau^2 \left((v^2)_m^n v_{m+1}^{n+1} - \left((v^2)_m^n + (v^2)_{m-1}^n \right) v_m^{n+1} + (v^2)_{m-1}^n v_{m-1}^{n+1} \right) = 0} \quad (2^{**})$$

Нормируем схему для использования метода прогонки

$$-4h^2 v_m^n + \left(4\omega\tau^2 (v^2)_{m-1}^n v_{m-1}^{n+1} + \tau h (v^2)_{m-1}^{n+1} \right) + \left(4h^2 + 4\omega\tau^2 \left((v^2)_m^n + (v^2)_{m-1}^n \right) \right) v_m^{n+1} + \left(4\omega\tau^2 (v^2)_m^n v_{m+1}^{n+1} - \tau h (v^2)_{m+1}^{n+1} \right) = 0$$

Для упрощения внешнего вида схемы заменим все константы на конкретном шаге вычисления на

$$A[M] = \frac{4\omega\tau^2 (v^2)_M^n}{4h^2 + 4\omega\tau^2 \left((v^2)_M^n + (v^2)_{M-1}^n \right)}, \quad B = \frac{\tau h}{4h^2 + 4\omega\tau^2 \left((v^2)_M^n + (v^2)_{M-1}^n \right)}, \quad C = \frac{-4h^2}{4h^2 + 4\omega\tau^2 \left((v^2)_M^n + (v^2)_{M-1}^n \right)}$$

Тогда наша схема принимает вид

$$Cv_m^n + \left(A[m-1]v_{m-1}^{n+1} + B(v^2)_{m-1}^{n+1} \right) + v_m^{n+1} + \left(A[m]v_{m+1}^{n+1} - B(v^2)_{m+1}^{n+1} \right) = 0$$

Теперь получим систему вида $G_i = G_i(\hat{v})$:

$$\begin{cases} G_0 = Cv_0 + \hat{v}_0 + (A[0]\hat{v}_1 - B\hat{v}_1^2), & m = 0; \\ G_m = Cv_m + (A[m-1]\hat{v}_{m-1} + B\hat{v}_{m-1}^2) + \hat{v}_m + (A[m]\hat{v}_{m+1} - B\hat{v}_{m+1}^2), & m = 1, \dots, M-1; \\ G_M = Cv_M + (A[M-1]\hat{v}_{M-1} + B\hat{v}_{M-1}^2) + \hat{v}_M, & m = M. \end{cases}$$

Найдём матрицу Якоби

$$J = \begin{pmatrix} 1 & A[0] - 2B\hat{v}_1 & 0 & \dots & 0 \\ A[0] + B\hat{v}_0 & 1 & A[1] - 2B\hat{v}_2 & 0 & \dots \\ 0 & A[1] + B\hat{v}_1 & 1 & A[2] - 2B\hat{v}_3 & \dots \\ \vdots & & \ddots & \ddots & \ddots \\ 0 & \dots & A[M-2] + B\hat{v}_{M-2} & 1 & A[M-1] - 2B\hat{v}_M \\ 0 & \dots & 0 & A[M-1] + B\hat{v}_{M-1} & 1 \end{pmatrix}$$

4 Устойчивость нелинейной неявной схемы

$$\frac{v_m^{n+1} - v_m^n}{\tau} - \frac{(v^2)_{m+1}^{n+1} - (v^2)_{m-1}^{n+1}}{4h} = \omega\tau \left(\frac{(v^2)_m^n v_{m+1}^{n+1} - \left((v^2)_m^n + (v^2)_{m-1}^n \right) v_m^{n+1} + (v^2)_{m-1}^n v_{m-1}^{n+1}}{h^2} \right)$$

Линиризуем наше уравнение. Пусть $w_m^n = v_m^n + \delta_m^n$ другое решение сеточной задачи, тогда подставим это решение в наше уравнение вычтем исходное. Затем выполним следующие равенства

$$(v_m^n + \delta_m^n)^2 - (v_m^n)^2 = 2v_m^n \delta_m^n$$

Тогда с точностью до $O((\delta_m^n)^2)$

$$\frac{\delta_m^{n+1} - \delta_m^n}{\tau} - \frac{2\delta_{m+1}^{n+1} v_{m+1}^{n+1} - 2\delta_{m-1}^{n+1} v_{m-1}^{n+1}}{4h} = \omega\tau \left(\frac{2\delta_m^n v_m^n v_{m+1}^{n+1} - (2\delta_m^n v_m^n + 2\delta_{m-1}^n v_{m-1}^n) v_m^{n+1} + 2\delta_{m-1}^n v_{m-1}^n v_{m-1}^{n+1}}{h^2} \right)$$

Применим спектральный признак устойчивости. Сделаем замену

$$\delta_m^n = (\lambda(\varphi))^n e^{im\varphi}$$

Тогда

$$\begin{aligned}
& \frac{\lambda^{n+1}e^{im\varphi} - \lambda^n e^{im\varphi}}{\tau} - \frac{2\lambda^{n+1}e^{i(m+1)\varphi}v_{m+1}^{n+1} - 2\lambda^{n+1}e^{i(m-1)\varphi}v_{m-1}^{n+1}}{4h} = \\
& = \omega\tau \left(\frac{2\lambda^n e^{im\varphi}v_m^n v_{m+1}^{n+1} - (2\lambda^n e^{im\varphi}v_m^n + 2\lambda^n e^{i(m-1)\varphi}v_{m-1}^n)v_m^{n+1} + 2\lambda^n e^{i(m-1)\varphi}v_{m-1}^n v_{m-1}^{n+1}}{h^2} \right) \\
& \frac{\lambda - 1}{\tau} - 2\lambda \frac{e^{i\varphi}v_{m+1}^{n+1} - e^{i\varphi}v_{m-1}^{n+1}}{4h} = \omega\tau \left(\frac{2v_m^n v_{m+1}^{n+1} - (2v_m^n + 2e^{-i\varphi}v_{m-1}^n)v_m^{n+1} + 2e^{-i\varphi}v_{m-1}^n v_{m-1}^{n+1}}{h^2} \right) \\
& \lambda = \frac{\frac{1}{\tau} + \omega\tau \left(\frac{2v_m^n v_{m+1}^{n+1} - (2v_m^n + 2e^{-i\varphi}v_{m-1}^n)v_m^{n+1} + 2e^{-i\varphi}v_{m-1}^n v_{m-1}^{n+1}}{h^2} \right)}{\frac{1}{\tau} - 2\frac{e^{i\varphi}v_{m+1}^{n+1} - e^{i\varphi}v_{m-1}^{n+1}}{4h}}
\end{aligned}$$

Преобразуем, найдём модуль λ , получим, что данная схема неустойчива

5 Аппроксимация

Рассматривается уравнение переноса:

$$\frac{\partial u}{\partial t} - \frac{1}{2} \frac{\partial u}{\partial x} = 0.$$

1. Посчитаем аппроксимацию для явной схемы (1*)

$$\begin{aligned}
& v_m^{n+1} - \frac{1}{2} \left(\left(1 + \frac{\tau}{h}\right) v_{m+1}^n + \left(1 - \frac{\tau}{h}\right) v_{m-1}^n \right) = \\
& = v_m^n + \tau \dot{v}_m^n + O(\tau^2) - \frac{1}{2} \left(\left(1 + \frac{\tau}{h}\right) (v_m^n + h v_m'^n + O(h^2)) + \left(1 - \frac{\tau}{h}\right) (v_m^n - h v_m'^n + O(h^2)) \right) = \\
& = \tau \left(\dot{v}_m^n - \frac{1}{2} v_m'^n \right) + O(\tau^2 + h^2) = O(\tau^2 + h^2).
\end{aligned}$$

2. Для неявной схемы (2*)

$$\begin{aligned}
& 4h^2 v_m^n + \tau(\omega\tau - h) v_{m-1}^{n+1} - 2(2h^2 + \omega\tau^2) v_m^{n+1} + \tau(\omega\tau + h) v_{m+1}^{n+1} = \\
& = 4h^2 v_m^n + \tau(\omega\tau - h) (v_m^n + \tau \dot{v}_m^n - h v_m'^n - \tau h \dot{v}_m'^n + O(h^2 + \tau^2)) - 2(2h^2 + \omega\tau^2) (v_m^n + \tau \dot{v}_m^n + O(\tau^2)) + \\
& \quad + \tau(\omega\tau + h) (v_m^n + \tau \dot{v}_m^n + h v_m'^n + \tau h \dot{v}_m'^n + O(h^2 + \tau^2)) = \\
& = \cancel{4h^2 v_m^n} + \omega\tau^2 (v_m^n + \tau \dot{v}_m^n - \cancel{h v_m'^n} - \tau h \dot{v}_m'^n + O(h^2 + \tau^2)) - \tau h (\cancel{v_m^n} + \tau \dot{v}_m^n - h v_m'^n - \tau h \dot{v}_m'^n + O(h^2 + \tau^2)) - \\
& \quad - 4h^2 (\cancel{v_m^n} + \tau \dot{v}_m^n + O(\tau^2)) + 2\omega\tau^2 (v_m^n + \tau \dot{v}_m^n + O(\tau^2)) + \omega\tau^2 (v_m^n + \tau \dot{v}_m^n + \cancel{h v_m'^n} + \tau h \dot{v}_m'^n + O(h^2 + \tau^2)) + \\
& \quad + \tau h (\cancel{v_m^n} + \tau \dot{v}_m^n + h v_m'^n + \tau h \dot{v}_m'^n + O(h^2 + \tau^2)) = O(\tau^2 + \tau h^2)
\end{aligned}$$

6 Дифференциальное приближение

1. Дифференциальное приближение для явной схемы (1) с точностью до членов порядка $O\left(\tau^3 + h^3 + \frac{h^4}{\tau}\right)$

$$v_t - \frac{1}{2} v_x = \frac{h^2}{2\tau} v_{x\bar{x}}$$

$$\begin{aligned}
& \dot{v} + \frac{\tau}{2} \ddot{v} + \frac{\tau^2}{6} \dddot{v} + O(\tau^3) - \frac{1}{2} v' - \frac{h}{4} v'' - \frac{h^2}{12} v''' + O(h^3) = \frac{h^2}{2\tau} v'' + \frac{h^3}{4\tau} v''' + O\left(\frac{h^4}{\tau}\right) \\
& \dot{v} - \frac{1}{2} v' - \frac{h^2}{2\tau} v'' = -\frac{\tau}{2} \ddot{v} - \frac{\tau^2}{6} \dddot{v} + \frac{h}{4} v'' + \frac{h^2}{12} v''' + \frac{h^3}{4\tau} v'''' + O\left(\tau^3 + h^3 + \frac{h^4}{\tau}\right) \\
& \dot{v} = \frac{1}{2} v' + O\left(\tau + h + \frac{h^2}{\tau}\right)
\end{aligned}$$

$$\begin{aligned}
\dot{v}' &= \frac{1}{2}v'' + O\left(\tau + h + \frac{h^2}{\tau}\right) \\
\dot{v}'' &= \frac{1}{2}v''' + O\left(\tau + h + \frac{h^2}{\tau}\right) \\
\ddot{v} &= \frac{1}{2}\dot{v}' + O\left(\tau + h + \frac{h^2}{\tau}\right) = \frac{1}{4}v'' + O\left(\tau + h + \frac{h^2}{\tau}\right) \\
\ddot{v} &= \frac{1}{4}\dot{v}'' + O\left(\tau + h + \frac{h^2}{\tau}\right) = \frac{1}{8}v''' + O\left(\tau + h + \frac{h^2}{\tau}\right) \\
\dot{v} - \frac{1}{2}v' - \frac{h^2}{2\tau}v'' &= \left(\frac{h}{4} - \frac{\tau}{8}\right)v'' + \left(\frac{h^2}{12} - \frac{\tau^2}{48}\right)v''' + \frac{h^3}{4\tau}v'''' + O\left(\tau^3 + h^3 + \frac{h^4}{\tau}\right)
\end{aligned}$$

2. Дифференциальное приближение для явной схемы (2) с точностью до членов порядка $O(\tau^3 + h^3 + \tau h^2)$

$$\begin{aligned}
v_t - \frac{1}{2}\hat{v}_x &= \frac{\omega\tau}{4}\hat{v}_{x\bar{x}} \\
\dot{v} + \frac{\tau}{2}\ddot{v} + \frac{\tau^2}{6}\ddot{v} + O(\tau^3) - \frac{1}{2}v' - \frac{h}{4}v'' - \frac{h^2}{12}v''' + O(h^3) &= \frac{\omega\tau}{4}v'' + \frac{\omega\tau h}{8}v''' + O(\tau h^2) \\
\dot{v} - \frac{1}{2}v' + \frac{\omega\tau}{4}v'' &= -\frac{\tau}{2}\ddot{v} - \frac{\tau^2}{6}\ddot{v} + \frac{h}{4}v'' + \frac{h^2}{12}v''' + \frac{\omega\tau h}{8}v''' + O(\tau^3 + h^3 + \tau h^2) \\
\dot{v} &= \frac{1}{2}v' + O(\tau + h) \\
\dot{v}' &= \frac{1}{2}v'' + O(\tau + h) \\
\dot{v}'' &= \frac{1}{2}v''' + O(\tau + h) \\
\ddot{v} &= \frac{1}{2}\dot{v}' + O(\tau + h) = \frac{1}{4}v'' + O(\tau + h) \\
\ddot{v} &= \frac{1}{4}\dot{v}'' + O(\tau + h) = \frac{1}{8}v''' + O(\tau + h) \\
\dot{v} - \frac{1}{2}v' + \frac{\omega\tau}{4}v'' &= \left(\frac{h}{4} - \frac{\tau}{8}\right)v'' + \left(\frac{h^2}{12} + \frac{\omega\tau h}{8} - \frac{\tau^2}{48}\right)v''' + O(\tau^3 + h^3 + \tau h^2)
\end{aligned}$$

7 Устойчивость

1. Для явной схемы (1*)

$$v_m^{n+1} = \frac{1}{2} \left(\left(1 + \frac{\tau}{h}\right) v_{m+1}^n + \left(1 - \frac{\tau}{h}\right) v_{m-1}^n \right)$$

Сделаем замену

$$v_m^n = (\lambda(\varphi))^n e^{im\varphi}$$

Тогда

$$\lambda^{n+1} e^{im\varphi} = \frac{1}{2} \left(\left(1 + \frac{\tau}{h}\right) \lambda^n e^{i(m+1)\varphi} + \left(1 - \frac{\tau}{h}\right) \lambda^n e^{i(m-1)\varphi} \right)$$

Сократим всё на $\lambda^n e^{im\varphi}$

$$\lambda = \frac{1}{2} \left(\left(1 + \frac{\tau}{h}\right) e^{i\varphi} + \left(1 - \frac{\tau}{h}\right) e^{-i\varphi} \right)$$

$$\lambda = \frac{1}{2} \left(e^{i\varphi} + e^{-i\varphi} + \frac{\tau}{h} (e^{i\varphi} - e^{-i\varphi}) \right)$$

$$\lambda = \cos \varphi + \frac{i\tau}{h} \sin \varphi$$

$$|\lambda| = \sqrt{\cos^2 \varphi + \frac{\tau^2}{h^2} \sin^2 \varphi} = \sqrt{1 + \left(\frac{\tau^2}{h^2} - 1\right) \sin^2 \varphi} \leq 1 \iff -1 \leq \frac{\tau^2}{h^2} - 1 \leq 0$$

$$0 \leq \frac{\tau^2}{h^2} \leq 1 \implies \tau^2 \leq h^2 \implies \tau \leq h.$$

Таким образом, можем сделать вывод, что наша схема устойчива при условии $\tau \leq h$.

2. Для неявной схемы (2*)

$$4h^2 v_m^n + \tau(\omega\tau - h) v_{m-1}^{n+1} - 2(2h^2 + \omega\tau^2) v_m^{n+1} + \tau(\omega\tau + h) v_{m+1}^{n+1} = 0$$

Аналогично предыдущему пункту сделаем замену

$$v_m^n = (\lambda(\varphi))^n e^{im\varphi}$$

Тогда

$$4h^2 \lambda^n e^{im\varphi} + \tau(\omega\tau - h) \lambda^{n+1} e^{i(m-1)\varphi} - 2(2h^2 + \omega\tau^2) \lambda^{n+1} e^{im\varphi} + \tau(\omega\tau + h) \lambda^{n+1} e^{i(m+1)\varphi} = 0$$

Сократим всё на $\lambda^{n+1} e^{im\varphi}$

$$\begin{aligned} \frac{4h^2}{\lambda} + \tau(\omega\tau - h) e^{-i\varphi} - 2(2h^2 + \omega\tau^2) + \tau(\omega\tau + h) e^{i\varphi} &= 0 \\ \frac{4h^2}{\lambda} + \omega\tau^2 (e^{-i\varphi} + e^{i\varphi}) - 2(2h^2 + \omega\tau^2) + \tau h (e^{i\varphi} - e^{-i\varphi}) &= 0 \\ \frac{4h^2}{\lambda} + 2\omega\tau^2 \cos \varphi - 2(2h^2 + \omega\tau^2) + 2i\tau h \sin \varphi &= 0 \\ \frac{4h^2}{\lambda} + 2\omega\tau^2 \cos \varphi - 2(2h^2 + \omega\tau^2) + 2i\tau h \sin \varphi &= 0 \\ -1 \leq \lambda = \frac{2h^2}{2h^2 + \omega\tau^2 - \omega\tau^2 \cos \varphi - i\tau h \sin \varphi} &\leq 1 \end{aligned}$$

Рассмотрим правый случай

$$\begin{aligned} 2h^2 &\leq 2h^2 + \omega\tau^2 - \omega\tau^2 \cos \varphi - i\tau h \sin \varphi \\ \omega\tau^2 \cos \varphi + i\tau h \sin \varphi &\leq \omega\tau^2 \\ \cos \varphi + \frac{ih}{\tau\omega} \sin \varphi &\leq 1 \\ \cos^2 \varphi + \frac{h^2}{\tau^2\omega^2} \sin^2 \varphi &\leq 1 \\ 1 + \left(\frac{h^2}{\tau^2\omega^2} - 1 \right) \sin^2 \varphi &\leq 1 \\ \frac{h^2}{\tau^2\omega^2} \leq 1 &\implies h \leq \tau\omega \end{aligned}$$

Рассмотрим левый случай

$$\begin{aligned} -2h^2 &\leq 2h^2 + \omega\tau^2 - \omega\tau^2 \cos \varphi - i\tau h \sin \varphi \\ \omega\tau^2 \cos \varphi + i\tau h \sin \varphi &\leq 4h^2 + \omega\tau^2 \\ \cos \varphi + \frac{ih}{\tau\omega} \sin \varphi &\leq \frac{4h^2}{\omega\tau^2} + 1 \\ \cos^2 \varphi + \frac{h^2}{\tau^2\omega^2} \sin^2 \varphi &\leq \left(\frac{4h^2}{\omega\tau^2} + 1 \right)^2 \\ 1 + \left(\frac{h^2}{\tau^2\omega^2} - 1 \right) \sin^2 \varphi &\leq \frac{16h^4}{\omega^2\tau^4} + \frac{8h^2}{\omega\tau^2} + 1 \\ \left(\frac{h^2}{\tau^2\omega^2} - 1 \right) \sin^2 \varphi &\leq \frac{16h^4}{\omega^2\tau^4} + \frac{8h^2}{\omega\tau^2} \end{aligned}$$

Так как мы уже выяснили, что

$$\frac{h^2}{\tau^2\omega^2} \leq 1$$

Получим

$$|\sin \varphi| \geq \sqrt{\frac{\frac{16h^4}{\omega^2\tau^4} + \frac{8h^2}{\omega\tau^2}}{1 - \frac{h^2}{\tau^2\omega^2}}}$$

Рассмотрим $\varphi = \frac{\pi}{2}$

$$1 \geq \frac{\frac{16h^4}{\omega^2\tau^4} + \frac{8h^2}{\omega\tau^2}}{1 - \frac{h^2}{\tau^2\omega^2}}$$

$$\frac{16h^4}{\omega^2\tau^4} + \frac{8h^2}{\omega\tau^2} + \frac{h^2}{\tau^2\omega^2} - 1 \leq 0$$

$$\frac{16h^4}{\tau^4} + (8\omega + 1)\frac{h^2}{\tau^2} - \omega^2 \leq 0$$

Рассмотрим случай

$$\frac{16h^4}{\tau^4} + (8\omega + 1)\frac{h^2}{\tau^2} - \omega^2 = 0$$

и делаем замену $x = \frac{h^2}{\tau^2}$

$$16x^2 + (8\omega + 1)x - \omega^2 = 0$$

$$D = (8\omega + 1)^2 + 4 \cdot 16 \cdot \omega^2 = 128\omega^2 + 16\omega + 1$$

$$x = \frac{-8\omega - 1 \pm \sqrt{128\omega^2 + 16\omega + 1}}{32}$$

Значит

$$\frac{h^2}{\tau^2} \in \left[\frac{-8\omega - 1 - \sqrt{128\omega^2 + 16\omega + 1}}{32}, \frac{-8\omega - 1 + \sqrt{128\omega^2 + 16\omega + 1}}{32} \right]$$

При $\omega = 1$

$$\frac{h^2}{\tau^2} \in (0, 0.095)$$

$$\frac{h}{\tau} \in (0, 0.3)$$

При $\omega = 0.1$

$$\frac{h^2}{\tau^2} \in (0, 0.0053)$$

$$\frac{h}{\tau} \in (0, 0.073)$$

Таким образом, мы можем подобрать такие τ и h , чтобы наша схема была устойчива в точке $\varphi = \frac{\pi}{2}$, а значит она условно устойчива.

8 Аналитическое решение

8.1 Линейный случай

Решение системы, которую мы рассматриваем, имеет вид

$$u(t, x) = \begin{cases} 0, & x + \frac{t}{2} \leq 0; \\ 4x + 2t, & 0 < x + \frac{t}{2} \leq \frac{1}{4}; \\ 1, & x + \frac{t}{2} > \frac{1}{4}. \end{cases}$$

8.2 Нелинейный случай

Решение нелинейного уравнения $\frac{\partial u}{\partial t} - u \frac{\partial u}{\partial x} = 0$ с начальным условием $u(0, x) = u_0(x)$ будем проводить в два этапа.

- Формально найдём решение $\varphi(t, x)$ уравнения Хопфа $\frac{\partial u}{\partial t} + u \frac{\partial u}{\partial x} = 0$ с начальным условием $\varphi(0, x) = u_0(x)$. Решение задачи Коши в параметрическом виде

$$\begin{cases} \varphi = u_0(\xi); \\ x = \xi + u_0(\xi)t. \end{cases}$$

Это решение в нашем случае имеет вид

$$\varphi_1(t, x) = \begin{cases} 0, & x \leq 0; \\ \frac{x}{0.25+t}, & 0 < x < t + 0.25; \\ 1, & x \geq 0.25 + t. \end{cases}$$

В момент времени $t = -0.25$ происходит опрокидывание волны. Волна начинает двигаться вдвое медленнее по правилу Уизема.

$$\varphi_2(t, x) = \begin{cases} 0, & x < \frac{1}{2}(t + 0.25); \\ 1, & x \geq \frac{1}{2}(t + 0.25). \end{cases}$$

- Обратим время, то есть заметим, что искомое $u(t, x) = \varphi(-t, x)$.

$$u(t, x) = \begin{cases} \varphi_1(-t, x), & t < \frac{1}{4}; \\ \varphi_2(-t, x), & t \geq \frac{1}{4}. \end{cases}$$

Самое для нас интересное, это значение в момент времени $t = 1$

$$u(1, x) = \begin{cases} 0, & x < -\frac{3}{8}; \\ 1, & x > \frac{3}{8}. \end{cases}$$

А также выпишем условия на достаточно толстой границе

$$u(t, x) = \begin{cases} 0, & x < -\frac{3}{8}, \quad t \in [0, 1]; \\ 1, & x > 0.25, \quad t \in [0, 1]; \\ . & \dots\dots\dots \end{cases}$$

9 Расчёт линейной задачи

$$\|v\|_{C_h} = \max_{x_i \in \omega_h} |v_i|, \quad \|v\|_{L_{1,h}} = h \cdot \sum_{x_i \in \omega_h} |v_i|, \quad \Delta(v)_\alpha = \|v - u\|_\alpha, \quad \delta(v)_\alpha = \frac{\|u - v\|_\alpha}{\|v\|_\alpha}$$

Таблица 1. Нормы погрешности расчётов явной схемы.

τ	h	$\Delta(v)_{C_h}$	$\Delta(v)_{L_{1,h}}$	$\delta(v)_{C_h}$	$\delta(v)_{L_{1,h}}$
1.000000e-01	1.000000e-01	1.000000e+00	4.900000e+01	1.000000e+00	5.539853e-01
1.000000e-01	1.000000e-02	5.273108e+06	5.054663e+05	9.999999e-01	9.999896e-01
1.000000e-01	1.000000e-03	5.465235e+16	5.093047e+14	1.000000e+00	1.000000e+00
1.000000e-02	1.000000e-01	8.031926e-01	3.709536e-01	8.031926e-01	2.426046e-01
1.000000e-03	1.000000e-01	9.373646e-01	8.401416e-01	9.373646e-01	7.926923e-01
1.000000e-02	1.000000e-02	1.000000e+00	4.000000e+00	1.000000e+00	4.104669e-01
1.000000e-02	1.000000e-03	1.616070e+96	4.323214e+94	1.000000e+00	1.000000e+00
1.000000e-03	1.000000e-02	8.181700e-01	4.498948e-02	8.181700e-01	2.313072e-02
1.000000e-03	1.000000e-03	1.000000e+00	5.000000e-01	1.000000e+00	2.667378e-01
1.000000e-04	2.000000e-03	1.585838e-01	7.305628e-02	1.585838e-01	2.657558e-02

Таблица 2. Нормы погрешности расчётов неявной схемы $w = 0.1$.

τ	h	$\Delta(v)_{C_h}$	$\Delta(v)_{L_{1,h}}$	$\delta(v)_{C_h}$	$\delta(v)_{L_{1,h}}$
1.000000e-01	2.000000e-01	4.372200e-01	2.269288e-01	4.038161e-01	1.959267e-01
1.000000e-02	2.000000e-01	3.375862e-01	2.378580e-01	2.805984e-01	1.904446e-01
1.000000e-03	2.000000e-01	3.290486e-01	2.418351e-01	2.701957e-01	1.922478e-01
1.000000e-01	2.000000e-02	4.106256e+00	1.941447e+00	1.314155e+00	1.424242e+00
1.000000e-03	1.000000e-01	9.373646e-01	8.401416e-01	9.373646e-01	7.926923e-01
1.000000e-02	2.000000e-02	7.311477e-01	8.107262e-01	6.954223e-01	1.453499e+00
1.000000e-02	2.000000e-03	4.839753e+30	1.322317e+30	1.000000e+00	1.000000e+00
1.000000e-03	2.000000e-03	2.375341e+01	3.131219e+00	1.043861e+00	1.536225e+00

Таблица 3. Нормы погрешности расчётов неявной схемы $w = 1.0$.

τ	h	$\Delta(v)_{C_h}$	$\Delta(v)_{L_1,h}$	$\delta(v)_{C_h}$	$\delta(v)_{L_1,h}$
1.000000e-01	2.000000e-01	9.306913e-01	7.211783e-01	6.911680e-01	1.030898e+00
1.000000e-02	2.000000e-01	4.141583e-01	2.351699e-01	3.734761e-01	2.015669e-01
1.000000e-03	2.000000e-01	3.370144e-01	2.406146e-01	2.790449e-01	1.926056e-01
1.000000e-01	2.000000e-02	1.187399e+08	8.121043e+07	1.000000e+00	1.000000e+00
1.000000e-02	2.000000e-02	2.453783e+02	5.281614e+01	1.004092e+00	1.010707e+00
1.000000e-02	2.000000e-03	2.054269e+108	8.622864e+107	1.000000e+00	1.000000e+00
1.000000e-03	2.000000e-03	8.290935e+46	1.136613e+46	1.000000e+00	1.000000e+00
1.000000e-03	2.000000e-02	7.264135e-01	8.126977e-01	6.909746e-01	1.463833e+00

10 Расчёт нелинейной задачи

Таблица 4. Нормы погрешности расчётов явной схемы.

τ	h	$\Delta(v)_{C_h}$	$\Delta(v)_{L_1,h}$	$\delta(v)_{C_h}$	$\delta(v)_{L_1,h}$
1.000000e-04	2.000000e-03	5.002563e-01	2.766860e-02	5.002563e-01	1.006497e-02
1.000000e-01	1.000000e-01	1.000000e+00	4.934460e+01	5.921550e-01	5.578812e-01
1.000000e-01	1.000000e-02	1.579176e+184	3.158663e+182	1.000000e+00	1.000000e+00
1.000000e-01	1.000000e-03	inf	nan	nan	nan
1.000000e-02	1.000000e-01	7.987221e-01	2.871557e-01	7.987221e-01	1.780430e-01
1.000000e-03	1.000000e-01	9.400057e-01	8.370356e-01	9.400057e-01	7.874540e-01
1.000000e-03	1.000000e-02	8.038476e-01	2.986111e-02	8.038476e-01	1.523418e-02
1.000000e-02	1.000000e-02	inf	nan	nan	nan
1.000000e-02	1.000000e-03	inf	nan	nan	nan
1.000000e-03	1.000000e-03	inf	nan	nan	nan
1.000000e-04	1.000000e-03	8.038476e-01	2.986111e-03	8.038476e-01	1.496037e-03

Таблица 5. Нормы погрешности расчётов неявной схемы.

τ	h	$\Delta(v)_{C_h}$	$\Delta(v)_{L_1,h}$	$\delta(v)_{C_h}$	$\delta(v)_{L_1,h}$
1.000000e-01	2.000000e-02	inf	inf	nan	nan
1.000000e-02	2.000000e-03	0.000000e+00	nan	nan	nan

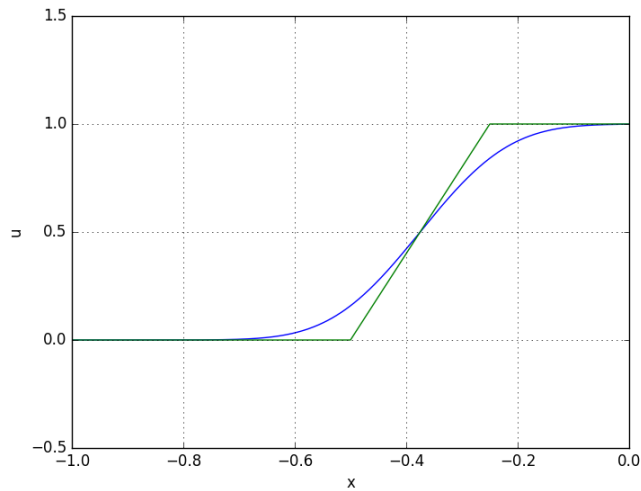


Рис. 1. Явный линейный

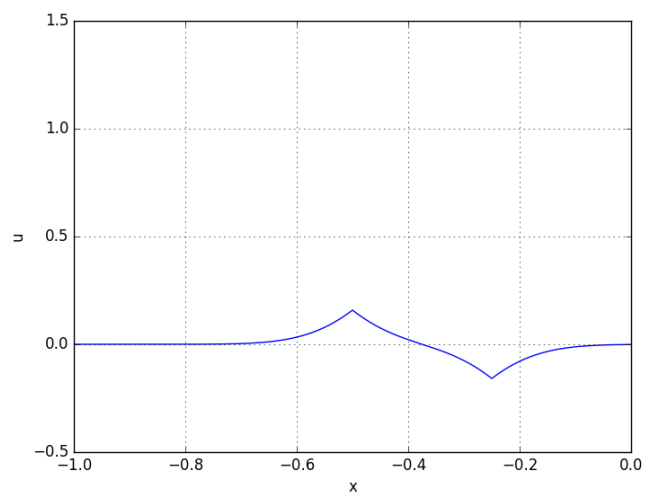


Рис. 2. Явный линейный (ошибка)

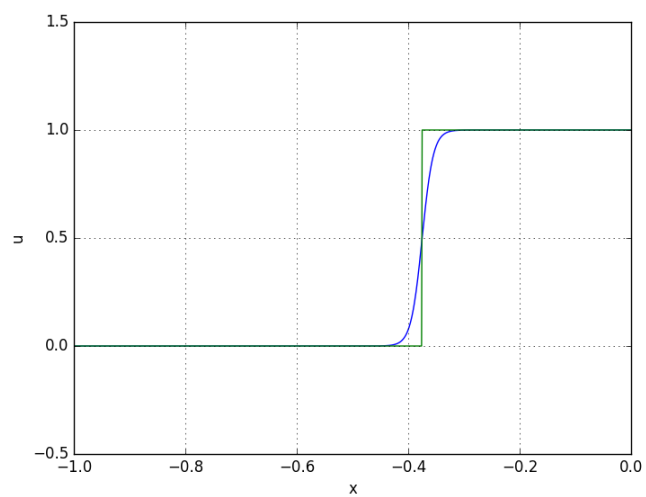


Рис. 3. Явный нелинейный

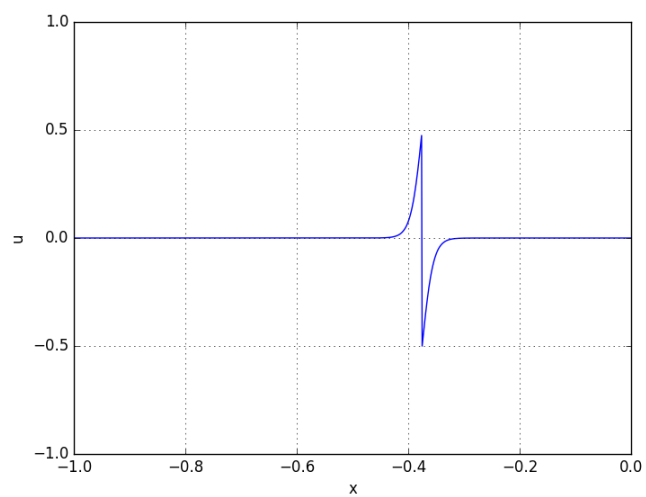


Рис. 4. Явный нелинейный (ошибка)

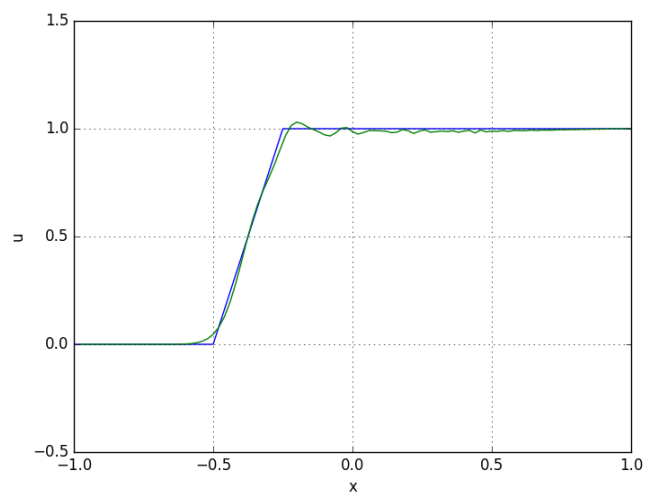


Рис. 5. Невный линейный $\omega = 1.0$

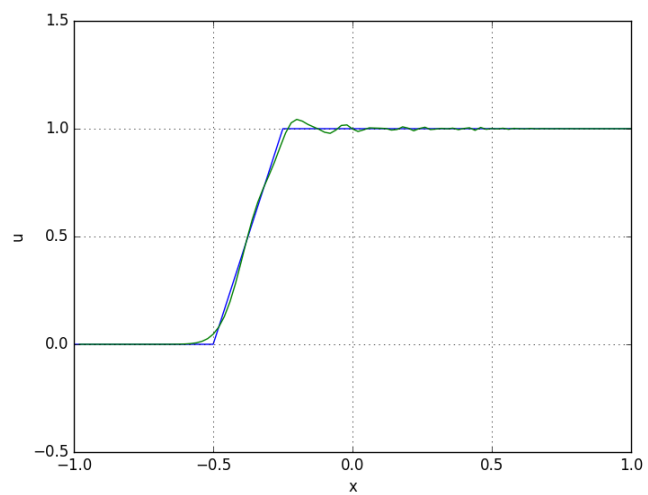


Рис. 6. Невный линейный $\omega = 0.1$

11 Приложения

11.1 Метод Ньютона

Решение нелинейной системы уравнений методом Ньютона

$$F(\bar{x}) = F(\bar{x}_0 + \Delta\bar{x}_1) \approx F(\bar{x}_0) + \left. \frac{\partial F}{\partial \bar{x}} \right|_{\bar{x}=\bar{x}_0} \cdot \Delta\bar{x}_1$$

Определим вектор приращений $\Delta\bar{x}_1$ из условия $F(\bar{x}) = 0$

$$\left. \frac{\partial F}{\partial \bar{x}} \right|_{\bar{x}=\bar{x}_0} \cdot \Delta\bar{x}_1 = -F(\bar{x}_0);$$

Или в развёрнутом виде

$$\sum_{j=1}^n \left(\frac{\partial f_i(\bar{x}_0)}{\partial x_j} \right) \cdot \Delta\bar{x}_1 = -f_i(\bar{x}_0),$$
$$\frac{\partial f_i(\bar{x}_0)}{\partial x_j} = \frac{f_i(x_1(0), \dots, x_{j-1}(0), x_j(0) + \varepsilon, x_{j+1}(0), \dots, x_n(0)) - f_i(\bar{x}_0)}{\varepsilon}$$

Обозначим матрицу Якоби

$$F'(\bar{x}_0) = \left. \frac{\partial F}{\partial \bar{x}} \right|_{\bar{x}=\bar{x}_0} \equiv \left\| \frac{\partial f_i(\bar{x}_0)}{\partial x_j} \right\|$$

Значит,

$$F'(\bar{x}_0) \cdot \Delta\bar{x}_1 = -F(\bar{x}_0)$$
$$\Delta\bar{x}_1 = \bar{x}_1 - \bar{x}_0 = -(F'(\bar{x}_0))^{-1} \cdot F(\bar{x}_0)$$
$$\bar{x}_1 = \bar{x}_0 - (F'(\bar{x}_0))^{-1} \cdot F(\bar{x}_0)$$

11.2 Характеристики

11.2.1 Линеинный случай

$$\frac{\partial u}{\partial t} - \frac{1}{2} \frac{\partial u}{\partial x} = 0$$

Составим характеристическую систему

$$\frac{dt}{1} = \frac{dx}{-\frac{1}{2}}$$

$$t = -2x + C_1. \quad (6)$$

11.2.2 Нелинейный случай

$$\frac{\partial u}{\partial t} - \frac{1}{2} \frac{\partial u^2}{\partial x} = 0$$

$$\frac{\partial u}{\partial t} - u \frac{\partial u}{\partial x} = 0$$

Составим характеристическую систему

$$\frac{dt}{1} = \frac{dx}{-u} = \frac{du}{0}$$

Значит, получим уравнения

$$u = C_1, \quad x + ut = C_2$$

начальное значение (4): значит

$$C_2 = \sigma; \quad C_1 = \varphi(\xi) = u_0(\xi) = \begin{cases} 0, & \text{если } \xi \leq 0, \\ 4\xi, & \text{если } 0 < \xi \leq 0.25, \\ 1, & \text{если } \xi > 0.25; \end{cases}$$

Тогда

$$x + \varphi(\xi)t = \xi \implies x = -\varphi(\xi)t + \xi. \quad (7)$$